



Solar - WSA-ENLIL

EMC (<https://ccmc.gsfc.nasa.gov/donki/>):

WSA-ENLIL(CMEs 2024-08-04 23:12:00 UT, 2024-08-05 03:12:00 UT, 2024-08-05 05:48:00 UT and 2024-08-05 16:00:00 UT) Os resultados das simulações indicam que o flanco da EMC alcançará a missão DSCOVR entre 2024-08-08 09:00:00 UT e 2024-08-08 23:00:00 UT.

WSA-ENLIL(CME 2024-08-07 19:36:00 UT)

Os resultados das simulações indicam que o flanco da EMC alcançará a missão DSCOVR entre 2024-08-10 23:00:00 UT e 2024-08-11 13:00:00 UT.

WSA-ENLIL(CMEs 2024-08-09 08:24:00 UT and 2024-08-09 12:53:00 UT)

Os resultados das simulações indicam que o flanco da EMC alcançará a missão DSCOVR entre 2024-08-12 09:00:00 UT e 2024-08-12 23:00:00 UT.

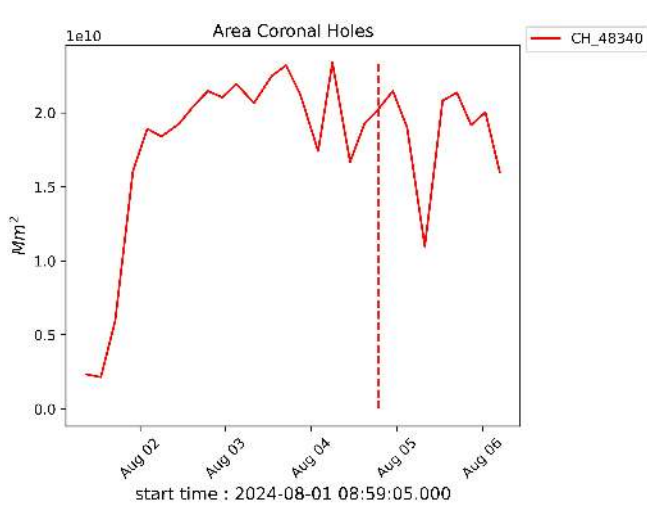
WSA-ENLIL(CME 2024-08-10 03:12:00 UT)

Os resultados das simulações indicam que o flanco da EMC alcançará a missão DSCOVR entre 2024-08-12 21:00:00 UT e 2024-08-13 11:00:00 UT.

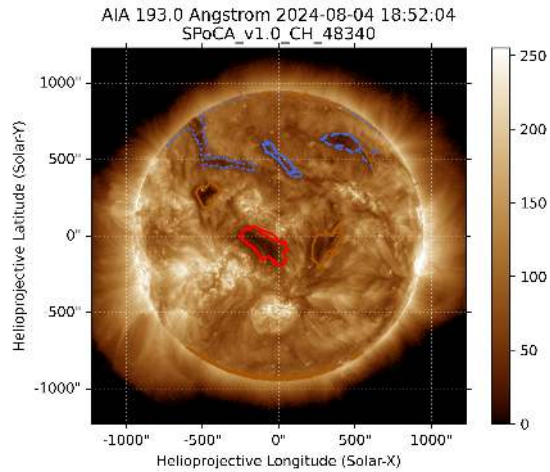
WSA-ENLIL(CME 2024-08-09 21:48:00 UT)

Os resultados das simulações indicam que o flanco da EMC alcançará a missão DSCOVR entre 2024-08-13 05:00:00 UT e 2024-08-13 19:00:00 UT.

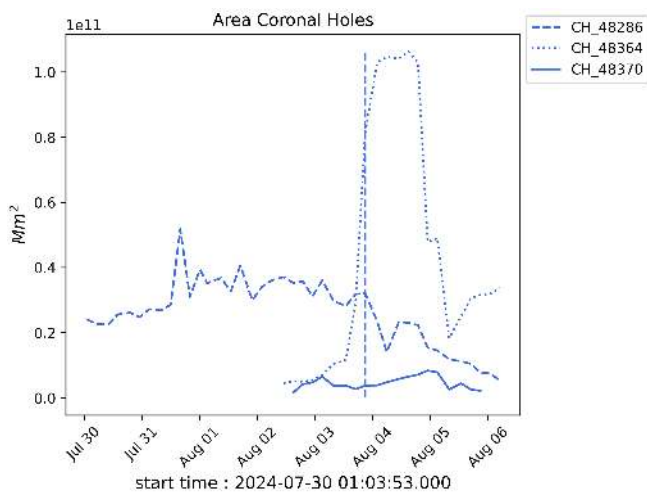
Solar - Coronal holes Spatial Possibilistic Clustering Algorithm (SPoCAS):



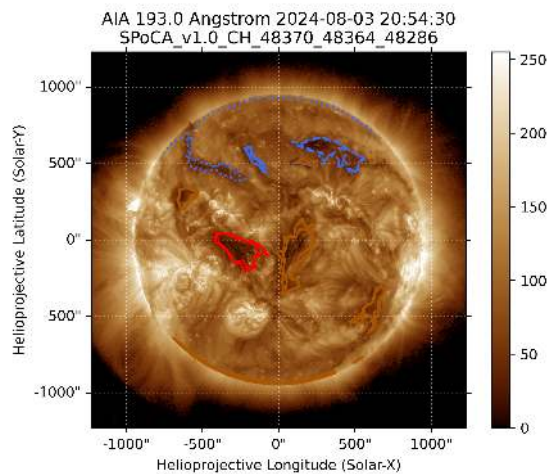
(a) A linha preta mostra o resultado da soma das áreas para cada intervalo da detecção realizado pelo SPOCA entre os dias 29 de julho e 06 de agosto de 2024.



(b) Sobre a imagem em 193 Å do Sol estão destacados os Buracos coronais observados pelo SPOCA por volta das 18:52 UT do dia 04 de agosto de 2024 (linha vermelha pontilhada do gráfico à esquerda)

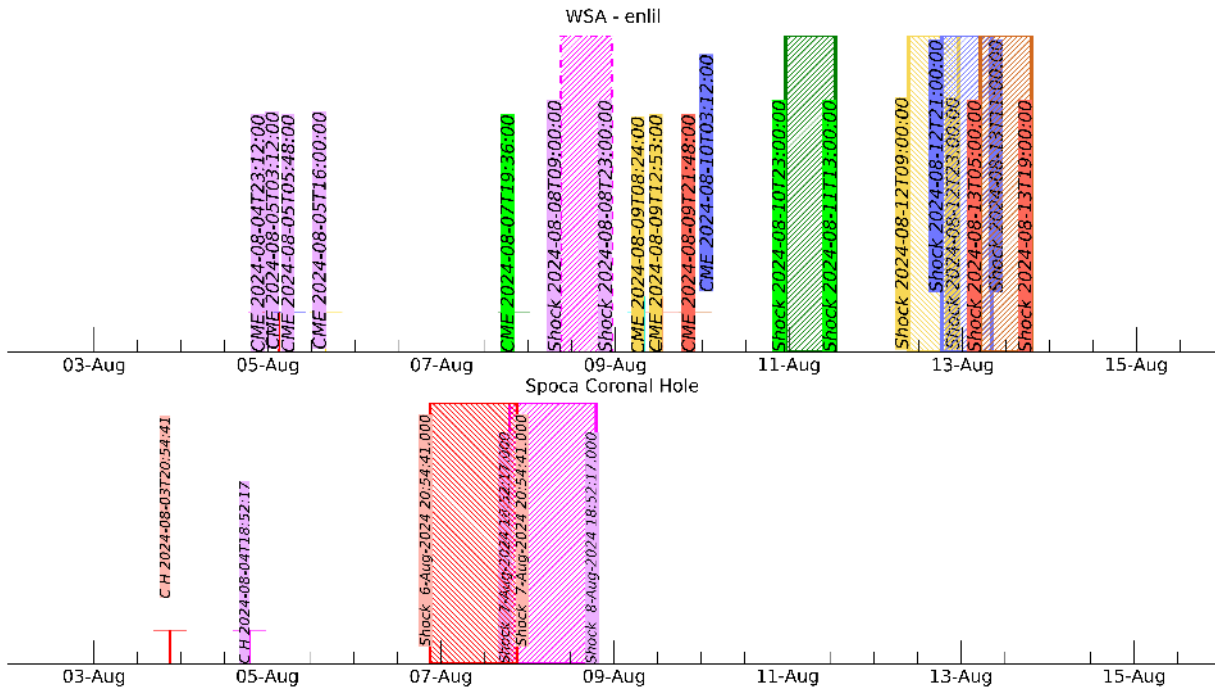


(a) A linha preta mostra o resultado da soma das áreas para cada intervalo da detecção realizado pelo SPOCA entre os dias 29 de julho e 06 de agosto de 2024.



(b) Sobre a imagem em 193 Å do Sol estão destacados os Buracos coronais observados pelo SPOCA por volta das 20:54 UT do dia 03 de agosto de 2024 (linha azul pontilhada do gráfico à esquerda)

Solar - WSA - ENLIL e SPoCA



CINTURÃO DE RADIAÇÃO DA TERRA

Responsável: Ligia Da Silva

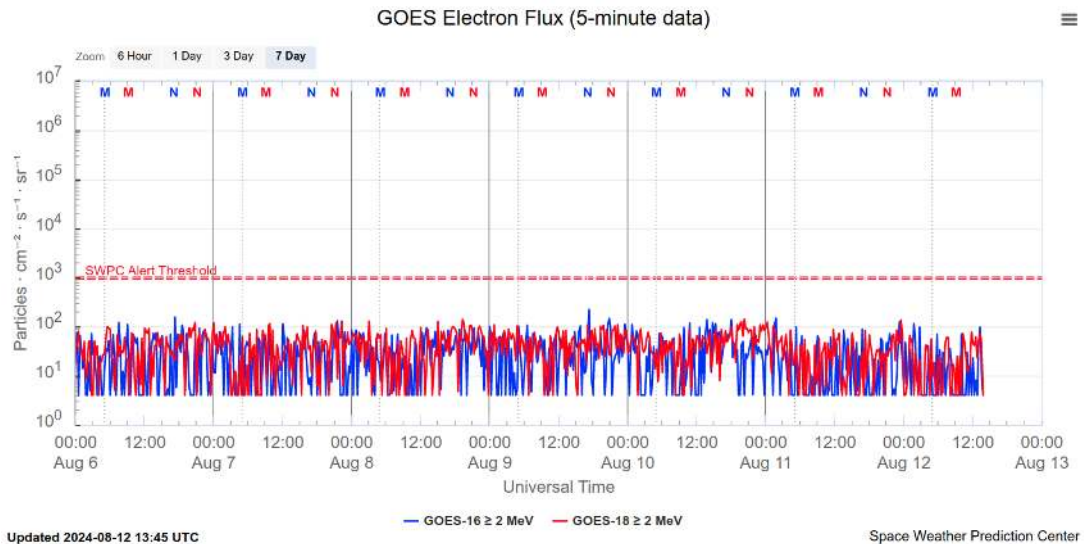


Figura 1: Fluxo de elétrons de alta energia ($\geq 2\text{MeV}$) obtido a partir dos satélites GOES-16 e GOES-18. Fonte: <https://www.swpc.noaa.gov/products/goes-electron-flux>

Resumo

O fluxo de Elétrons de alta energia ($\geq 2\text{MeV}$) na borda do cinturão de radiação externo obtido a partir do satélite geostacionário GOES-16 (Figura 1 – linha azul) e GOES-18 (Figura 1 – linha vermelha) esta confinado abaixo 10^2 partículas/($\text{cm}^2 \text{ s sr}$) em todo o período analisado.

Ionosfera – Digisonda (Laysa Resende)

Resumo

Nesta semana o traço da região F foi típico em Cachoeira Paulista. Contudo, foi observado o traço da região E2 na mesma estação (Figura 1).

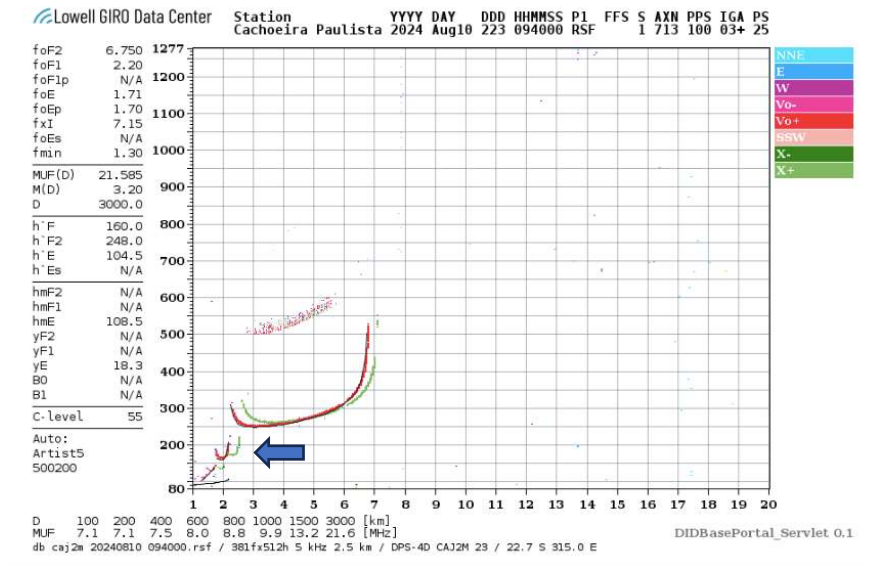


Figure 1 – Ionograma de Cachoeira Paulista, mostrando o traço da região E2.

Ionosfera - ROTI Resumo da semana 2326 (4 a 10 de agosto de 2024)

Carolina de Sousa do Carmo

Na semana 2326 (4 a 10 de agosto de 2024) ocorreram irregularidades ionosféricas (bolhas de plasma) nas estações Boa Vista nos dias 7 e 8 de Agosto e em Cuiabá nos dias 8 e 9 de agosto. A Figura abaixo mostra a série temporal do ROTI, para quatro estações no setor brasileiro (Boa Vista (BOAV), Natal (RNNA), Cuiabá (CUIB) e Cachoeira Paulista (CHPI)).

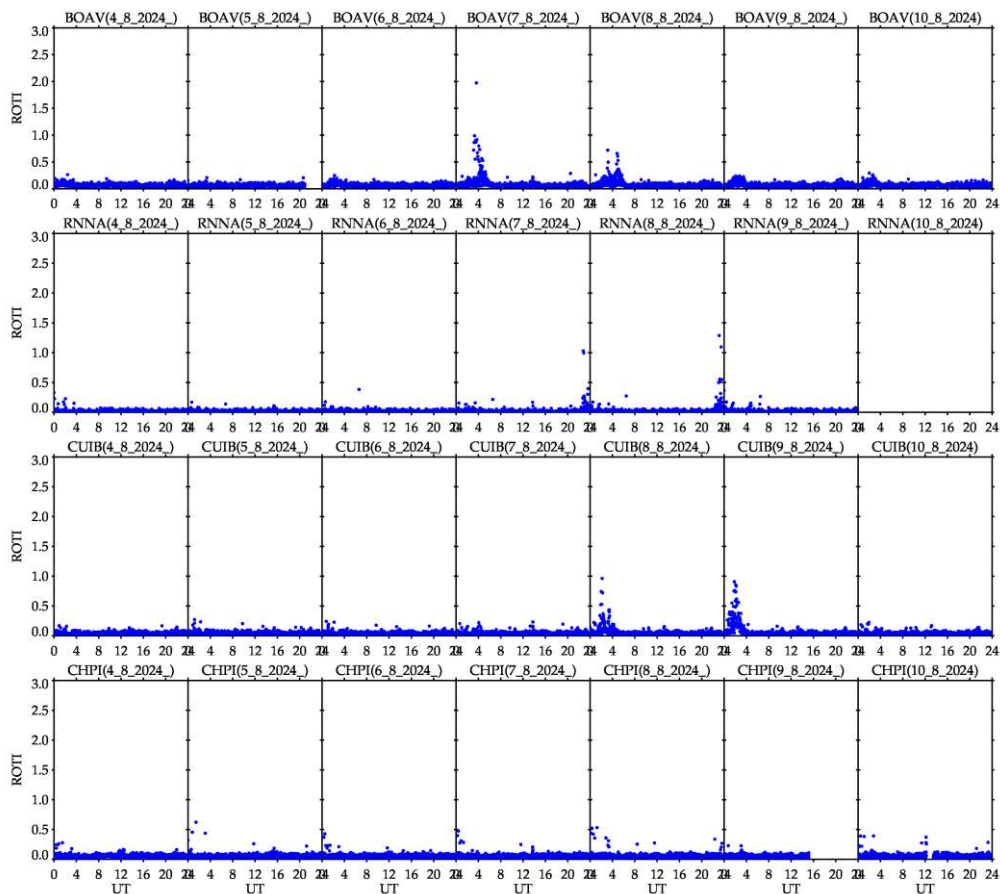


Figura – Série temporal de ROTI, para quatro estações no setor brasileiro (Boa Vista (BOAV), Natal (RNNA), Cuiabá (CUIB) e Cachoeira Paulista (CHPI)), 4 a 10 de agosto de 2024.